

FIG. 2A

SORTIE, <i>S</i> solidaire de (OBT)	ENTREE PRINCIPALE, <i>P</i> (PRI) <i>via</i> (MAC)	ENTREE DE REGLAGE, <i>R</i> (REG) <i>via</i> (CMD)
Le planétaire (PLA, indicé 1) $\omega_s = \omega_{10} = \frac{1}{\lambda} \omega_{30} + \frac{\lambda-1}{\lambda} \omega_{40}$	<b>C1</b> COU(3) ; $k_p = \frac{1}{\lambda}$	SAT(4) ; $k_R = \frac{\lambda-1}{\lambda}$
	<b>C2</b> SAT(4) ; $k_p = \frac{\lambda-1}{\lambda}$	COU(3) ; $k_R = \frac{1}{\lambda}$
	$-\infty < \frac{1}{\lambda} < -1$ et $2 < \frac{\lambda-1}{\lambda} < +\infty$	
La couronne (COU, indicée 3) $\omega_s = \omega_{30} = \lambda \omega_{10} + (1-\lambda) \omega_{40}$	<b>C3</b> PLA(1) ; $k_p = \lambda$	SAT(4) ; $k_R = 1-\lambda$
	<b>C4</b> SAT(4) ; $k_p = 1-\lambda$	PLA(1) ; $k_R = \lambda$
	$-1 < \lambda < 0$ et $1 < 1-\lambda < 2$	
Le porte-satellites (SAT, indicé 4) $\omega_s = \omega_{40} = \frac{\lambda}{\lambda-1} \omega_{10} + \frac{1}{1-\lambda} \omega_{30}$	<b>C5</b> PLA(1) ; $k_p = \frac{\lambda}{\lambda-1}$	COU(3) ; $k_R = \frac{1}{1-\lambda}$
	<b>C6</b> COU(3) ; $k_p = \frac{1}{1-\lambda}$	PLA(1) ; $k_R = \frac{\lambda}{\lambda-1}$
	$0 < \frac{\lambda}{\lambda-1} < \frac{1}{2}$ et $\frac{1}{2} < \frac{1}{1-\lambda} < 1$	
SORTIE (solidaire de OBT)	ENTREE PRINCIPALE, <i>P</i> (PRI) <i>via</i> (MAC)	ENTREE DE REGLAGE, <i>R</i> (REG) <i>via</i> (CMD)

FIG. 2B

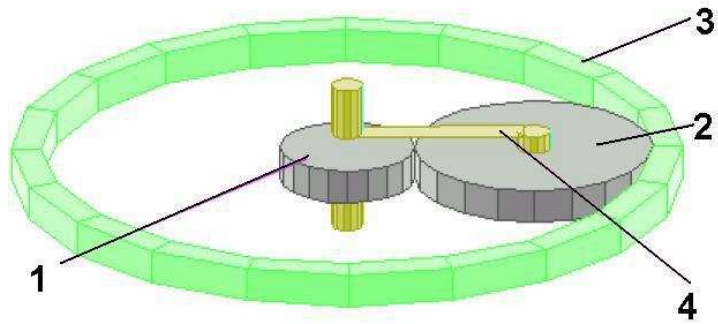


FIG. 2C

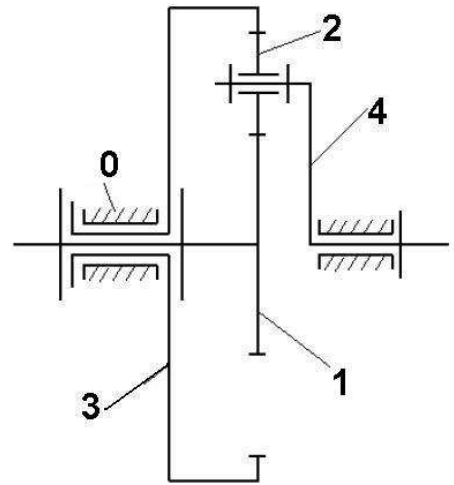


FIG. 2D

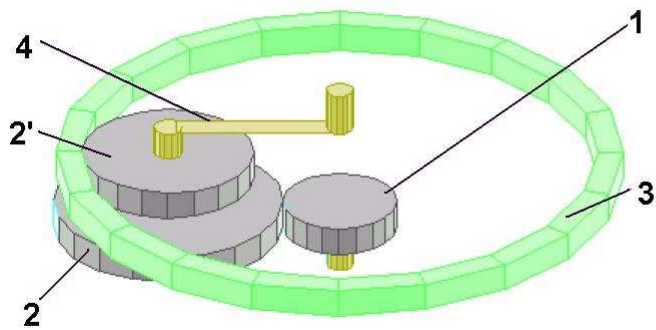


FIG. 2E

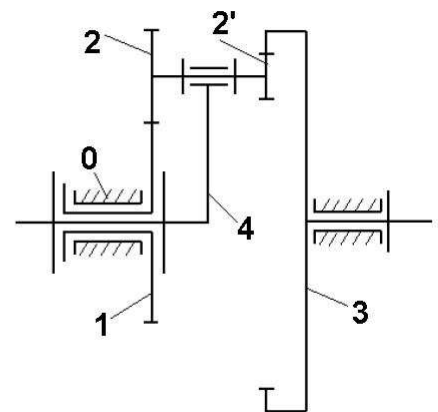


FIG. 2F

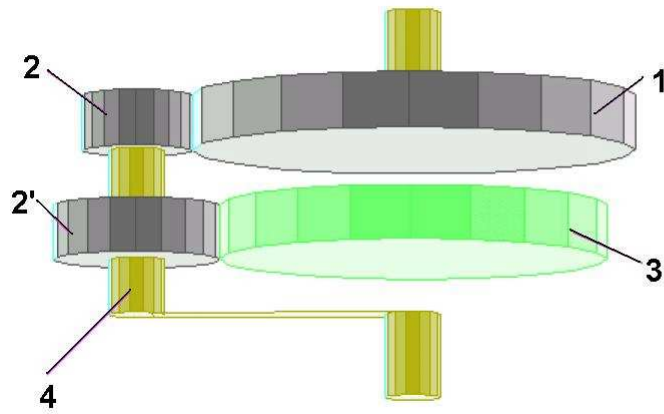


FIG. 2G

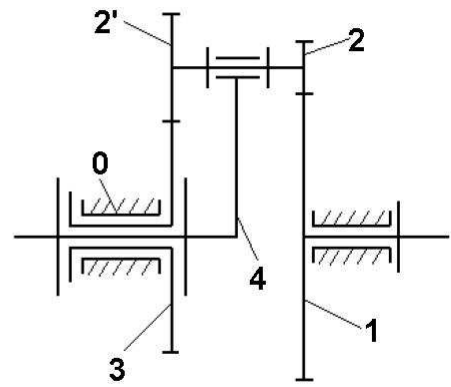


FIG. 2H

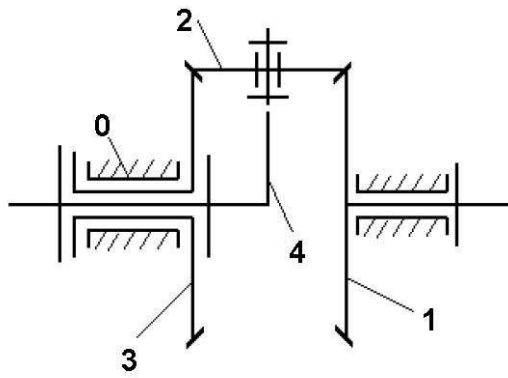


FIG. 2I

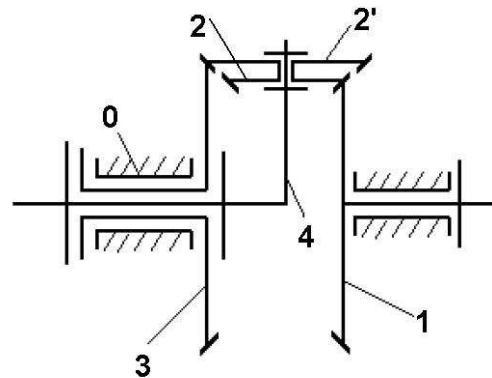


FIG. 2J